

東京工業大学 学生員 丸山 博
 鹿島建設K.K 正員 鈴木 健一
 東京工業大学 正員 長港 重義

1. まえがき

近年、一部において実用化されているP.R.C.(Prestressed Reinforced Concrete)部材の曲げひびわれ性状を確
 認すべく、実用上、基本的な問題となる諸要因 すなわち緊張筋位置の相違、緊張筋のフラウトの有無、部材断
 面形状及びスパン長の相違、プレストレス量の相違、PC鋼棒と異形鉄筋の断面積比の相違等が 曲げひびわれ
 に影響を及ぼす性状について 静的実験及び一部において疲労実験により、検討した。

2. 試験概要

セメントは日本セメントK.K製早強ポルトランドセメント(比重3.14)を用い、骨材は粗骨材(比重2.65, F.M.741), 細骨材(比重2.62, F.M.3.02)ともに富士産のものを使用した。減水剤にはリグニンを系のものを用いた。また、上記早強セメントを用い、混和剤として高性能減水剤をセメント重量の1%使用したW/C = 30%のペーストによってフラウトをした。コンクリートの配合は表1に、載荷方法は図1に、試験体の配筋及び強度については表2に、そして形状寸法は図2にそれぞれ示した。ひびわれ幅は、図1に示すようにコンタクトタイプゲージを用いて異形鉄筋の埋設位置で測定した。また、疲労実験は、上限荷重を静的試験における異形鉄筋引張応力度1000 kg/cm²とする荷重とし、下限荷重を1/2として200万回まで行った。

3. 試験結果及び考察

図3~6は、ひびわれ断面で異形鉄筋位置コンクリート応力度が0となる状態からの異形鉄筋引張応力度の増加量と最大ひびわれ幅の関係をプロットしたものである。図3は、Aシリーズを表わしたものである。これによると、同一断面形状の部材についてはプレストレス量の相違、PC緊張筋量の相違にかかわらず最大ひびわれ幅と異形鉄筋応力度の増加量との間にはほとんど同一の直線関係があると言える。また、B, Cシリーズでも同じことが言える。したがって、静的試験においては、プレストレス量の相違は単にひびわれ発生モーメント及び断面抵抗モーメントを増加させるだけであって 曲げひびわれ性状には影響を与えないと言える。しかし、疲労試験においては、図7のようにプレストレスを入れている場合とない場合とでは最大残留ひびわれ幅に影響がでてくる。そして、プレストレスが入っている場合 200万回繰返し荷重を与えた後でも最大残留ひびわれ幅が0.05mm程度までほとんど併合していると言える。図4は、A, B, Cシリーズの下縁コンクリート有効プレストレス30%のものとした図である。ここでは、断面形状の相違にかか

表1. コンクリートの示方配合

| 粗骨材最大寸法(mm) | W/C (%) | スラップ (cm) | 空気量 (%) | s/a (%) | 単位量 (kg/m ³) | | | |
|-------------|---------|-----------|---------|---------|--------------------------|-----|-----|------|
| | | | | | W | C | S | G |
| 25 | 44 | 4~6 | 3±1 | 36 | 143 | 325 | 668 | 1180 |

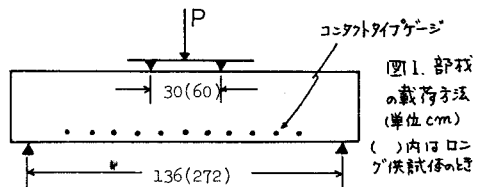


表2. 供試体の配筋及び強度

| 供試体 No | d _p (mm) | d _s (mm) | 異形鉄筋 (mm) | PC鋼棒 (mm) | 圧縮強度 (kg/cm ²) | 引張強度 (kg/cm ²) | ひびわれ発生荷重 (t) | 破壊荷重 (t) |
|--------|---------------------|---------------------|-----------|-----------|----------------------------|----------------------------|--------------|----------|
| A-0 | 110 | 120 | 2D13 | φ9.2 | 357 | 50.1 | 1.0 | 7.76 |
| A-10 | 110 | 120 | 2D13 | φ9.2 | 374 | 44.3 | 1.6 | 7.80 |
| A-10-U | 110 | 120 | 2D13 | φ9.2 | 353 | 46.0 | 1.6 | 7.80 |
| A-20 | 110 | 120 | 2D13 | φ13 | 374 | 44.3 | 2.2 | 9.64 |
| A-30 | 110 | 120 | 2D13 | φ13 | 357 | 50.1 | 2.4 | 10.2 |
| B-0 | 110 | 120 | 2D10 | φ9.2 | 414 | 47.9 | 0.6 | 4.95 |
| B-10 | 110 | 120 | 2D10 | φ9.2 | 460 | 48.1 | 0.8 | 5.80 |
| B-30 | 110 | 120 | 2D10 | φ11 | 460 | 48.1 | 1.4 | 6.78 |
| C-0 | 200 | 260 | 2D13 | φ9.2 | 431 | 63.5 | 2.8 | 12.8 |
| C-10 | 200 | 260 | 2D13 | φ9.2 | 457 | 61.2 | 3.4 | 14.3 |
| C-10-U | 200 | 260 | 2D13 | φ9.2 | 484 | 46.9 | 4.2 | 16.2 |
| C-10-L | 200 | 260 | 2D13 | φ9.2 | 369 | 54.0 | 1.6 | 8.00 |
| C-20 | 200 | 260 | 2D13 | φ11 | 431 | 63.5 | 4.4 | 17.3 |
| C-30 | 200 | 260 | 2D13 | φ13 | 457 | 61.2 | 6.2 | 20.4 |
| C-30-U | 200 | 260 | 2D13 | φ13 | 484 | 46.9 | 5.8 | 20.4 |
| C-30-L | 200 | 260 | 2D13 | φ13 | 390 | 41.9 | 2.6 | 10.9 |
| D-N01 | 250 | 260 | 2D10 | φ15 | 416 | 60.4 | 4.0 | 23.4 |
| D-N02 | 200 | 260 | 2D10 | φ15 | 460 | 64.2 | 3.6 | 20.7 |
| D-N03 | 150 | 260 | 2D10 | φ15 | 416 | 60.4 | 4.2 | 17.5 |
| D-N04 | 250 | 260 | 2D13 | φ9.2 | 464 | 62.8 | 4.0 | 20.5 |
| D-N05 | 200 | 260 | 2D13 | φ9.2 | 464 | 62.8 | 4.4 | 18.7 |
| D-N06 | 150 | 260 | 2D13 | φ15 | 460 | 64.2 | 4.6 | 20.5 |

*シリーズ番号 A, B, C の後の数字は下縁コンクリート有効プレストレス (kg/cm²) を示し、Dシリーズは下縁コンクリート有効プレストレス 20kg/cm² である。また、Uはフラウトなし、Lはロープスパンの略である。

わらずほとんど同一直線上に3シリーズともっている。しかし、AシリーズとBシリーズとでは水平純鉄筋間隔が5cm 近くちがひ、また、A、BシリーズとCシリーズとでは純かぶり厚が1cm 近くちがう。しかしながら、本実験においてはかぶり厚及び鉄筋間隔の影響は認められず、既往のひびわれ算定式と幾分異なっている。図5より、スパン長の相違も曲げひびわれ性状に影響を与えない。図5のPC鋼棒のグラウトの有無、及び図6の緊張材位置の相違がほとんど曲げひびわれ性状に影響を与えていないことより、PC鋼棒の付着は異形鉄筋の付着に比べて非常に小さいので、曲げひびわれ性状に影響を与えないことが考えられる。したがって、図6のようにPC鋼棒と異形鉄筋との断面積比の相違によっても差がでないのは当然である。しかし、P.R.C.においてはひびわれを許容するという観点からPC鋼棒のグラウトは鋼棒の耐ス性を有知にする為意義がある。

以上の一連の静的実験と一部においては、疲労実験から、実験の範囲内で明らかになることを総括すると

- (1) 最大ひびわれ幅(平均ひびわれ幅も同様である)は、異形鉄筋引張力力の増加量に依りて直線的に増加する。
- (2) プレストレス量の相違は、静的実験の場合には曲げひびわれ性状には影響を与えない。しかし、疲労実験の場合、プレストレスの有無は残留ひびわれ幅に影響を与える。
- (3) PC鋼棒の付着はほとんど曲げひびわれ性状に影響を与えないので、PC鋼棒のグラウトの有無、緊張材位置の相違及びPC鋼棒と異形鉄筋の断面積比の相違によって曲げひびわれ性状は、静的実験の場合、影響を受けない。
- (4) 断面形状の相違及びスパン長の相違は、曲げひびわれ性状に影響を与えない。

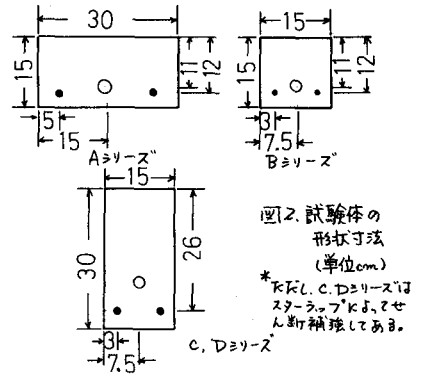


図2. 試験体の形状寸法 (単位cm)
*ただし、Cシリーズはスタンアップによるせん断補強がある。

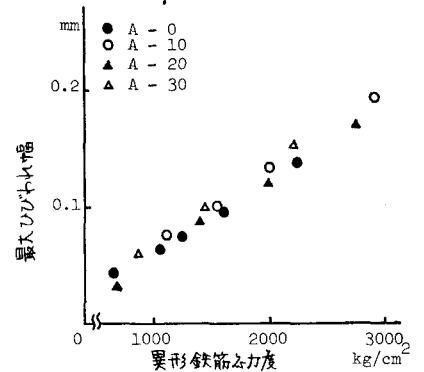


図3. プレストレス量の相違の影響

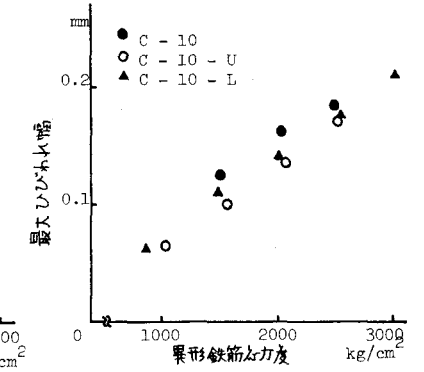


図4. グラウトの有無、スパン長の相違の影響

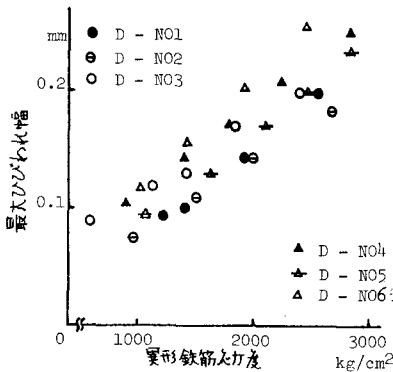


図5. 緊張材位置及び断面比の相違の影響

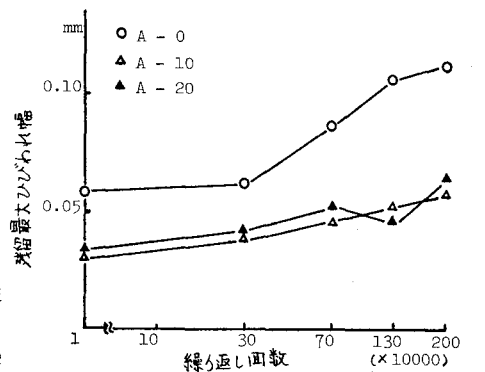


図6. 疲労実験 (プレストレス有無の相違)